

УДК 532.546.013.4

**РАЗВИТИЕ ВЯЗКОСТНОЙ НЕУСТОЙЧИВОСТИ В ПОРИСТОЙ
СРЕДЕ С УЧЕТОМ КАПИЛЛЯРНЫХ СИЛ**

БОЧАРОВ О. Б., КУЗНЕЦОВ В. В.

При вытеснении вязкой жидкости в пористой среде другой, несмешивающейся с ней и менее вязкой, при неблагоприятном отношении подвижностей на фронте вытеснения процесс вытеснения неустойчив. Рост возмущений на фронте вытеснения приводит к формированию «языков» вытесняющей жидкости. При рассмотрении роста возмущений в пористой среде принципиальное значение имеет то, что в устойчивом режиме вытеснение отличается от поршневого и за фронтом вытеснения происходит совместное течение двух жидкостей [1]. Величина насыщенности вытесняющей жидкости на фронте вытеснения в устойчивом режиме определяется из решения Баклея – Леверетта.

Начальная стадия роста амплитуд возмущений в линейном приближении изучалась в [1–3]. Рассматривались два возможных способа учета влияния капиллярных сил на скорость роста малых возмущений: введением эффективного межфазного напряжения на фронте вытеснения [2], которое считалось поршневым, и усреднением течения в переходной зоне в окрестности фронта вытеснения в рамках модели Маскета – Леверетта [3]. Нелинейная стадия развития возмущений в пористых средах со случайнм полем проницаемости изучалась в [4]. Развитие регулярных возмущений в немногой стадии их роста изучалось численно без учета капиллярных сил в [5]. В [6] дан обзор работ по изучению немногой стадии развития вязкостной неустойчивости в ячейке Хил – Шоу, одной из моделей пористой среды. Исследовалось поршневое вытеснение с локализацией капиллярных сил на фронте вытеснения. Вместе с тем систематического изучения влияния капиллярных сил на развитие вязкостной неустойчивости в случае развитого двухфазного течения выполнено не было. В данной работе численно в рамках модели Маскета – Леверетта, т. е. с учетом капиллярных сил, рассматривается развитие регулярных возмущений в немногой стадии их роста.

1. Рассмотрим течение двух несмешивающихся несжимаемых жидкостей в однородной горизонтальной пористой среде в двумерной постановке. Система уравнений для определения «эффективного» давления p и нормализованной насыщенности вытесняющей жидкости s в безразмерных переменных имеет вид [7]

$$\frac{\partial s}{\partial t} = \operatorname{div}(\varepsilon a(s) \nabla s - \mathbf{v} F(s)) \quad (1.1)$$

$$\operatorname{div} \mathbf{v} = 0, \quad \mathbf{v} = -M(S) \nabla p \quad (1.2)$$

$$p = p_2 + \varepsilon \int_s^1 F(s) \frac{dJ(s)}{ds} ds, \quad s = \frac{s_1 - s_{10}}{s_{11} - s_{10}}$$

$$a(s) = -k_2(s) F(s) \frac{dJ(s)}{ds}, \quad F(s) = \frac{k_1(s)}{k_1(S) + \mu k_2(s)}$$

$$M(s) = \frac{k_1(s)}{\mu} + \frac{k_2(S)}{k_2(0)}$$

$$\varepsilon = \frac{\sigma \sqrt{km}}{u_0 \mu_2 \lambda}, \quad p = \frac{p * k k_2(s_{10})}{u_0 \mu_2 \lambda}, \quad t = t * \frac{u_0}{m \lambda (s_{11} - s_{10})}$$

$$x = x^*/\lambda, \quad y = y^*/\lambda, \quad v = u/u_0$$

где \mathbf{v} — суммарная скорость фильтрации, $M(s)$ — подвижность смеси при насыщенности s , отнесенная к начальной подвижности при $s=0$, $F(s)$ — функция Баклея — Леверетта, $k_i(s)$ — относительные фазовые проницаемости, $J(s)$ — капиллярное давление, $\mu=\mu_1/\mu_2$ — отношение вязкостей жидкостей, t^*, x^*, y^*, p^* , u — размерные времена, координаты, давление и скорость фильтрации смеси, λ — длина волны возмущения на фронте вытеснения или возмущения скорости фильтрации закачиваемой жидкости при $x^*=0$, u_0 — скорость фильтрации смеси при $x^*=0$, m — пористость, k — проницаемость, s_{10} и s_{11} — начальное и конечное значения насыщенности вытесняющей жидкости, индекс 1 — относится к вытесняющей, 2 — к вытесняемой жидкостям, σ — поверхностное натяжение.

Течение рассматривается в прямоугольной области $\Omega = \{0 \leq x \leq a, 0 \leq y \leq 0,5\}$ с непроницаемыми границами при $y=0$ и $0,5$, что моделирует симметрию течения; при давлении в вытесняющей жидкости на выходе $p_2=0$, $x=a$ и заданных расходах жидкостей при $x=0$. Вытеснение происходит в направлении оси x . В начальный момент времени область течения полностью заполнена вытесняемой жидкостью ($s=0$).

Для нелинейных возмущений фронта вытеснения с единичной длиной волны уравнение изосаты для насыщенности s_j (изолиния, насыщенность вытесняющей жидкости вдоль которой постоянна и равна s_j) мож-

но представить в виде $s(\eta_j(y, t), y, t) = s_j$. С учетом дифференциальных соотношений на изосате уравнение (1.1) можно преобразовать к виду

$$\begin{aligned} \frac{\partial \eta_j}{\partial t} &= \frac{dF}{ds} \left(v_x - v_y \frac{\partial \eta_j}{\partial y} \right) + \epsilon a(s) \frac{\partial^2 \eta_j}{\partial y^2} - \\ &- \epsilon \left[1 + \left(\frac{\partial \eta_j}{\partial y} \right)^2 \right] \left(\frac{\partial s}{\partial x} \right)^{-1} \frac{\partial}{\partial x} \left(a(s) \frac{\partial s}{\partial x} \right) \end{aligned} \quad (1.3)$$

Зададим возмущение так, что $\eta_j(y, t)$ максимальна при $y=0$ (головная часть изосаты) и минимальна при $y=0,5$ (хвостовая часть изосаты). В силу симметрии $\partial \eta_j / \partial y = 0$ при $y=0, 0,5$ и, следовательно, $v_y \partial \eta_j / \partial y$ будет существенно меньше v_x в некоторой окрестности головной и хвостовой частей изосаты. Обозначим эти области Ω_j^h и Ω_j^t соответственно. Тогда скорости переноса изосаты в направлении оси x в областях Ω_j^h и Ω_j^t , равные $\partial \eta_j / \partial t$, в силу (1.3) имеют вид

$$W_j^k = \frac{dF}{ds} v_x^k + \epsilon a(s) \frac{\partial^2 \eta_j^k}{\partial y^2} - \epsilon \left(\frac{\partial s}{\partial x} \right)^{-1} \frac{\partial}{\partial x} \left(a(s) \frac{\partial s}{\partial x} \right) \quad (1.4)$$

$$k=h, t$$

и определяются неравномерностью суммарной скорости фильтрации по оси y , кривизной изосаты и капиллярной диффузией в направлении течения. Неравномерность суммарной скорости фильтрации порождается возмущением изолинии фронта вытеснения и уменьшается с увеличением расстояния от фронта из-за поперечных перетоков вытесняющей жидкости.

В пределах стабилизированной зоны, размазывающей фронт вытеснения, скорости переноса различных насыщенностей совпадают со скоростью переноса некоторой изосаты s_f , называемой фронтовой [1]. Для определения скорости переноса фронтовой изосаты в ее головной и хвостовой частях рассмотрим элемент пористой среды, включающий в себя стабилизированную зону с характерной длиной в направлении вытеснения l , и применим к нему уравнение сохранения массы в интегральном виде [1]. Ориентируя контрольный элемент среды по нормали к фронту вытеснения и учитывая, что в Ω_f^h, Ω_f^t нормальная к фронту вытеснения компонента скорости v_n близка к v_x , после предельного перехода от элемента к отрезку длиной l получим уравнения переноса фронта вытес-

нения в областях Ω_f^h и Ω_f^t в виде

$$s_f^k \frac{\partial \eta_f^k}{\partial t} = F(s_f^k) v_x^k + \varepsilon \Phi_f^k \frac{\partial^2 \eta_f^k}{\partial y^2} - \varepsilon a(s_f^k) \frac{\partial s}{\partial x} \Big|_{s=s_f^k}, \quad (1.5)$$

$$\Phi_f^k = \int_0^{s_f^k} a(\xi) d\xi, \quad k=h, t$$

где s_f — насыщенность на фронте вытеснения. Скорость роста амплитуды возмущения на фронте вытеснения $A(t)$ равна $dA/dt = 1/2(W_f^h - W_f^t)$ и определяется, как и для всех изосат, неравномерностью расхода в головной и хвостовой частях фронта вытеснения, его кривизной и интенсивностью капиллярной диффузии. Сравнивая соотношения (1.4) и (1.5), получим уравнения для определения насыщенностей на фронте вытеснения в областях Ω_f^h и Ω_f^t

$$\begin{aligned} v_x^h \frac{dF}{ds} + \varepsilon a(s) \frac{\partial^2 \eta_f^h}{\partial y^2} - \varepsilon \left(\frac{\partial s}{\partial x} \right)^{-1} \frac{\partial}{\partial x} \left(a(s) \frac{\partial s}{\partial x} \right) = \\ = \frac{F(s)}{s} v_x^h + \varepsilon \frac{\Phi_f^h}{s} \frac{\partial^2 \eta_f^h}{\partial y^2} - \varepsilon \frac{a(s)}{s} \frac{\partial s}{\partial x} \end{aligned} \quad (1.6)$$

$$s=s_f^k, \quad k=h, t$$

При $\varepsilon=0$ эти соотношения переходят в известное соотношение Баклея — Леверетта [1] для определения величины фронтовой насыщенности s_c и $s_c=s_c$. При $\varepsilon \neq 0$ величина фронтовой насыщенности зависит от кривизны фронта вытеснения, пропорциональной $\partial^2 \eta_f / \partial y^2$, и может отличаться от s_c , а также изменяться при переходе от области Ω_f^h к области Ω_f^t . Для возмущений малой амплитуды величина $v_y (\partial \eta_f / \partial y)$ имеет второй порядок малости не только в областях Ω_f^h и Ω_f^t , но и во всей области вытеснения. В этом случае соотношение типа (1.5) имеет место для всей изосаты, что и было получено ранее в [3] для случая $s_f^h=s_c$ и $\partial s / \partial x=0$.

Анализ развития малых возмущений, выполненный в [3] с использованием соотношения типа (1.5), показал, что их рост происходит в случае, если длина волны возмущений больше критической λ_* , что для системы (1.1) приводит к следующему условию для ε :

$$\begin{aligned} \lambda_* = 2\pi \frac{\sqrt{k m} \Phi_c (1+M_c)}{\mu_2 u_0 F_c (M_c - 1)} \\ M_c = M(s_c), \quad F_c = F(s_c), \quad \Phi_c = \Phi(s_c) \\ \varepsilon < \varepsilon_* = \frac{F_c (M_c - 1)}{2\pi \Phi_c (M_c + 1)} \end{aligned}$$

В дальнейшем величины λ_* и ε_* используются для нормировки параметров задачи.

2. Рассмотрим нелинейную стадию роста гармонических возмущений в рамках модели Маскета — Леверетта. Для определения эволюции поля изосат в этом случае система уравнений (1.1) и (1.2) решалась численно.

Разностная аппроксимация сформулированной краевой задачи в рассматриваемой области проводилась на равномерной блочно-центрированной сетке с шагом $h=h_x=h_y$. Решение находилось IMPES-методом [8]. Для расчета насыщенности строилась консервативная схема типа Тодда [8] в сочетании с использованием среднеарифметической аппроксимации функции $F(s)$ в полуцелых точках в окрестности фронта для получе-

ния второго порядка точности в целом по области. Расчеты проводились при $a=5, 10, 20$ и 30 , что позволило изучить асимптотическую стадию развития возмущений. Для формирования возмущений использовался метод, предложенный в [5]. Расход закачиваемой жидкости на входе задавался в виде функции от времени

$$v_1(0, y, t) = 1 - \alpha \cos 2\pi y, \quad 0 \leq t \leq t_0; \quad v_1 = 1, \quad t > t_0; \quad v_2(0, y, t) = 0$$

где величина α определяет амплитуду возмущения фронта вытеснения в момент времени t_0 . Распределение насыщенности s в момент времени t_0 , являющееся решением системы уравнений (1.1), (1.2), рассматривалось как начальное условие для $s(x, y, t)$ при $t=t_0$. Расчеты проводились для относительных фазовых проницаемостей вида $k_1(s)=s^2$, $k_2(s)=(1-s)^2$ и функции Леверетта $J(s)=0,32(1-s)/(0,1+s)$.

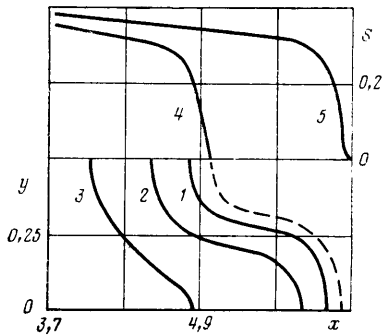
На фиг. 1, 2 приведены результаты расчетов полей насыщенности вытесняющей жидкости $s=0,24; 0,3; 0,34$ (кривые 1–3) и распределения насыщенности по длине при $y=0; 0,5$ (кривые 4, 5) для двух моментов времени $t_1=2,5$ – фиг. 1; $t_2=8,5$ – фиг. 2 и $\epsilon=8 \cdot 10^{-3}$. Параметр ϵ можно записать как $\epsilon=\epsilon_* \lambda_*/\lambda$ и расчеты полей насыщенности на фиг. 1, 2 соответствуют $\lambda'=\lambda/\lambda_*=10$. Данные расчетов по зависимости амплитуд изосат от времени для насыщенностей $s=0,1; 0,2; 0,3$; и $0,4$ при $\epsilon=8 \cdot 10^{-3}$ приведены на фиг. 3 (кривые 1–4). Здесь же линией 5 показаны результаты при $\epsilon=0$.

Расчеты показали, что после отключения возмущения расхода на входе ($t_0=0,7$) наблюдается рост амплитуд изосат и максимальную амплитуду имеет изосата с насыщенностью, близкой к фронтовой: $s_t=s_c$ (фиг. 3). При этом хорошо выделяется стабилизированная зона в диапазоне насыщенностей от 0 до 0,3, амплитуды изосат в которой практически совпадают (фиг. 1–3). Насыщенность $s=0,3$ является фронтовой насыщенностью в одномерном решении Баклея – Леверетта для использованных в расчетах фазовых проницаемостей при $\mu=0,1$. Изосата с $s=0,3$ практически разделяет область пористой среды, частично заполненную вытесняющей жидкостью, и область с $s=0$, граница которой показана на фиг. 1 пунктиром. На данной стадии развития возмущения эта изосата описывает форму «языка» вытесняющей жидкости, формирующую неравномерность суммарной скорости фильтрации за фронтом вытеснения.

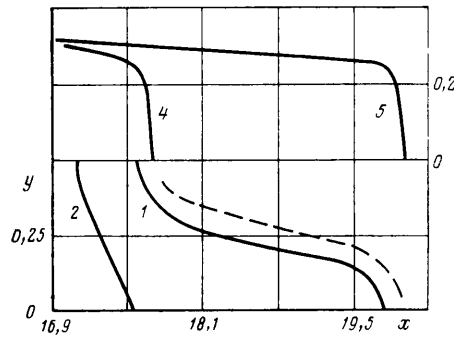
С ростом амплитуды языка величина фронтовой насыщенности в соответствии с (1.6) уменьшается и происходит перестройка стабилизированной зоны (фиг. 1, 2). Величина насыщенности на фронте вытеснения в зоне Ω_f^h с ростом амплитуды языка стремится к значению $s_m=0,24$, при котором происходит стабилизация ее величины (фиг. 2, 3). Насыщенность в хвостовой части языка меняется слабо и близка к значению $s_c=0,3$. Величина $s_m=0,24$ соответствует для использованных в расчетах относительных фазовых проницаемостей максимуму функции $M(s)dF/ds$, которая характеризует конвективный перенос при заданном градиенте давления. В процессе стабилизации формы языка амплитуды изосат с $s>0,3$ сильно уменьшаются (фиг. 3).

Качественно такой же характер изменения структуры поля насыщенности вытесняющей жидкости наблюдается и при больших значениях ϵ , но меньших ϵ_* . Предельная амплитуда языка и время ее установления уменьшаются с увеличением ϵ , а величина насыщенности на фронте вытеснения в головной части языка с ростом его амплитуды стремится к значению $s_m=0,24$. Расчеты, выполненные для времен, на порядок больших времени установления, показали, что предельная амплитуда языка в этом диапазоне времен стационарна.

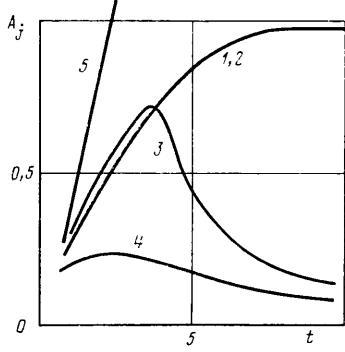
Зависимость предельной амплитуды языков от величины λ' (или ϵ/ϵ_*), полученная в численных расчетах, приведена на фиг. 4 (пунктир). При $\lambda'<2$ нелинейные возмущения фронта вытеснения, создаваемые без учета капиллярных сил в стадии формирования возмущений ($\epsilon=0$ при



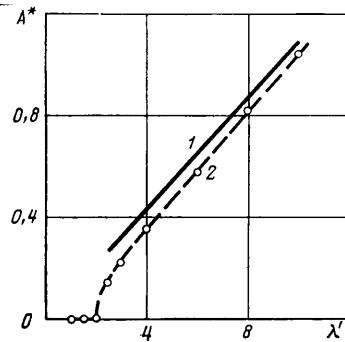
Фиг. 1



Фиг. 2



Фиг. 3



Фиг. 4

$t < t_0$) для всех изосат затухали при $t > t_0$. Из фиг. 4 следует, что капиллярная диффузия хорошо стабилизирует вязкостную неустойчивость при $\lambda' \leq 10$. Предельная амплитуда языков в этом случае не превышает их ширины.

3. Для оценки величины предельной амплитуды языка рассмотрим течение жидкостей в Ω_f^h и Ω_f^t . Предположим, что поперечные компоненты скорости и градиенты давления в этих областях малы, на что указывают данные численных расчетов при $\lambda' > 4$. Выделим области двухфазного $\Omega_f^{h1} = \Omega_f^h \cap \{s > 0\}$ и однофазного течений $\Omega_f^{h2} = \Omega_f^h \cap \{s = 0\}$ и будем считать, что насыщенность в Ω_f^{h1} постоянна и равна фронтовой $s^{h1} = s_f^h$. Тогда, используя равенство расходов в поперечных сечениях области течения расходу вытесняющей жидкости на входе, получим из (1.2) соотношения для определения продольных составляющих суммарной скорости фильтрации в областях Ω_f^{h1} и Ω_f^{h2}

$$v_x^{h,i} = \frac{1 + \delta_{i1}(M(s^{h1}) - 1)}{1 + \varphi^h(M(s^{h1}) - 1)}; \quad i=1, 2; \quad k=h, t$$

где $\delta_{i,j}$ — дельта Кронекера, φ^h — доля сечения, занятая вытесняющей жидкостью в областях Ω_f^h . Подставляя полученные соотношения для v_x^{h1} в (1.5), получим уравнение для определения зависимости амплитуды языка от времени

$$\begin{aligned} \frac{dA}{dt} &= D(s^{h1}, \varphi^h, \eta_f^h) - D(s^{t1}, \varphi^t, \eta_f^t) \\ D(s, \varphi, \eta) &\equiv \frac{F(s)}{2s} \left(\frac{M(s)}{1 + \varphi(M(s) - 1)} + \right. \\ &\quad \left. + \varepsilon \frac{\Phi(s)}{F(s)} \frac{\partial^2 \eta}{\partial y^2} - \varepsilon \frac{a(s)}{F(s)} \frac{\partial s}{\partial x} \right) \end{aligned} \quad (3.1)$$

Аппроксимация в асимптотической стадии формы языка функцией $\eta(y, t) = \eta_0(t) + A(t) \cos 2\pi y$ позволяет оценить кривизну фронта вытеснения в областях Ω_f^h и Ω_f^t

$$\begin{aligned}\frac{\partial^2 \eta_f^h}{\partial y^2} &= -4\pi^2 A, \quad \frac{\partial \eta_f^h}{\partial y} = 0, \quad y=0 \\ \frac{\partial^2 \eta_f^t}{\partial y^2} &= 4\pi^2 A, \quad \frac{\partial \eta_f^t}{\partial y} = 0, \quad y=0,5\end{aligned}$$

При достижении предельной амплитуды языка $\varphi^h \approx 0,5$; $\varphi^t \approx 0,7$; $s^{h1} \approx s_m$ и $s^{t1} \approx s_c$ градиенты $\partial s / \partial x$ при $y=0$, $s=s_m$ и при $y=0,5$, $s=s_c$ малы и из уравнения (3.1) следует выражение для предельной амплитуды языка при $dA/dt=0$:

$$A^* = \frac{F_m M_m / s_m (M_m + 1) - F_c / s_c (M_c + 1)}{2\pi^2 (\Phi_m / s_m + \Phi_c / s_c) \varepsilon} \quad (3.2)$$

$$F_m = F(s_m), \quad M_m = M(s_m), \quad \Phi_m = \Phi(s_m)$$

Расчеты по (3.2) показаны на фиг. 4 линией 1. Для $\lambda' > 4$, когда поперечные перетоки в головной и хвостовой частях фронта вытеснения малы, соотношение (3.2) позволяет оценить предельную амплитуду языка вытесняющей жидкости.

Таким образом, в результате численных расчетов показано, что в нелинейной стадии роста возмущений капиллярные силы стабилизируют вязкостную неустойчивость и устанавливается предельная длина языков вытесняющей жидкости. Предложено выражение для оценки предельной длины языков.

ЛИТЕРАТУРА

- Баренблатт Г. И., Ентов В. М., Рыжик В. М. Теория нестационарной фильтрации жидкости и газа. М.: Недра, 1972. 288 с.
- Chuoke R. L., Meurs P., van Poel C. van der. The instability of slow immiscible viscous liquid-liquid displacement in permeable media // Trans. Aime. 1959. V. 216. P. 188–194.
- Рыжик В. М., Кисиленко Б. Е. Исследование устойчивости продвижения границы раздела воды и нефти в пористой среде // Физико-геологические факторы при разработке нефтяных и нефтегазоконденсатных месторождений. М.: Недра, 1969. С. 82–92.
- Индельман П. В., Кац Р. М., Швидлер М. И. Численное моделирование процессов неустойчивого фильтрационного вытеснения // Изв. АН СССР. МЖГ. 1979. № 2. С. 20–27.
- Ентов В. М., Таранчук В. Б. Численное моделирование процесса неустойчивого вытеснения нефти водой // Изв. АН СССР. МЖГ. 1979. № 5. С. 58–63.
- Bensimon D., Kadanoff L. P., Liang S. Viscous flows in two dimensions // Rev. modern phys. 1986. V. 58. P. 977–999.
- Антонцев С. П., Кажихов А. В., Монахов В. Н. Краевые задачи механики неоднородных жидкостей. Новосибирск: Наука, 1983. 319 с.
- Азиз Х., Сеттари Э. Математическое моделирование пластовых систем. М.: Недра, 1982. 407 с.

Новосибирск

Поступила в редакцию
8.IX.1987